

К ВОПРОСУ О ЗАЖИГАНИИ  
КОНДЕНСИРОВАННЫХ СИСТЕМ  
ЛУЧИСТОЙ ЭНЕРГИЕЙ

В. Н. Вилюнов, О. Б. Сидонский

(Томск)

Рассматривается простейшая модель конденсированного вещества, способного к термическому разложению [1, 2]. Предполагается, что ответственными за зажигание являются суммарно-экзотермические процессы, протекающие в конденсированной фазе топлива. Эта точка зрения находится в согласии с современным механизмом горения порохов [3].

На поверхность топлива падает световой поток постоянной интенсивности  $q_s$ . Разогрев поверхностных слоев приводит к ускорению химических реакций и дополнительному выделению тепла в топливе. По истечении некоторого времени  $\tau_1$ , поток лучистой энергии прекращается и на поверхность топлива ставится адиабатика ( $\bar{q}_{x=0} = 0$ ). Исследуя характер изменения температуры на поверхности, можно судить о зажигании или потухании топлива.

Помещаем начало координат на поверхность, а ось  $\xi$  направляем в глубь топлива. Исходные в данной задаче дифференциальные уравнения и дополнительные условия в безразмерных переменных имеют вид:

$$\frac{\partial \Theta}{\partial \tau} = \frac{\partial^2 \Theta}{\partial \xi^2} + (1 - \eta) e^{\frac{\Theta}{1 + \tau^\Theta}}, \quad (1)$$

$$\frac{\partial \eta}{\partial \tau} = \beta (1 - \eta) e^{\frac{\Theta}{1 + \tau^\Theta}}, \quad (2)$$

$$\tau = 0, \quad 0 \leq \xi < \infty, \quad \Theta = \Theta_0 = \frac{E}{R T_1^2} (T_0 - T_1) < 0, \quad \eta = 0, \quad (3)$$

$$\text{при } \xi = 0 \quad - \frac{\partial \Theta}{\partial \xi} = \begin{cases} \bar{q}_s, & 0 \leq \tau < \tau_1, \\ 0, & \tau > \tau_1, \end{cases} \quad (4)$$

$$\text{при } \xi \rightarrow \infty \quad \frac{\partial \Theta}{\partial \xi} \rightarrow 0, \quad \tau \geq 0. \quad (5)$$

Безразмерные переменные, параметры, входящие в уравнения, и краевые условия определяются следующими зависимостями:

$$\Theta = \frac{E}{R T_1^2} (T - T_1), \quad \xi = \frac{x}{x_1}, \quad \tau = \frac{t}{t_1}, \quad \bar{q} = \frac{q}{q_1},$$

$$t_1 = \frac{RT_1^2}{E} \cdot \frac{c}{Qz} e^{\frac{E}{RT_1}}, \quad q_1 = \lambda \frac{RT_1^2}{Ex_1}, \quad x_1 = \sqrt{\kappa t_1}, \quad (6)$$

$$\Theta_0 = \frac{E}{RT_1^2} (T_0 - T_1), \quad \gamma = \frac{RT_1}{\lambda E}, \quad \beta = \frac{RT_1^2}{E} \cdot \frac{c}{Q}, \quad \bar{q}_s = \frac{Ex_1}{\lambda RT_1^2} q_s.$$

Здесь  $T(x, t)$  — температура,  $^{\circ}\text{К}$ ;  $t$  — время, сек;  $x$  — декартова координата, см;  $\eta(x, t)$  — глубина разложения вещества;  $T_0$  — начальная температура топлива,  $^{\circ}\text{К}$ ;  $E$  — энергия активации, кал/моль;  $c$  — теплоемкость, кал/г · град;  $Q$  — тепловой эффект реакции, кал/г;  $z$  — предэкспонент, 1/сек;  $\lambda$  — коэффициент теплопроводности, кал/см · сек · град;  $\kappa$  — температуропроводность,  $\text{см}^2/\text{сек}$ ;  $R$  — универсальная постоянная, кал/моль · град.

Масштаб температуры<sup>1</sup>  $T_1$  пока не определен. Выбирая его надлежащим образом, можно избавиться от одного безразмерного параметра, определяющего решение задачи. Здесь представляется множество возможностей, из которых рассмотрено только две.

1. В тех случаях, когда изучаются не только характеристики зажигания, но и закономерности выхода зажигания на стационарный режим горения топлива, разумно выбрать за опорную температуру  $T_1$  максимальную температуру, получаемую на поверхности при послойном горении топлива. Она определяется равенством  $T_1 = T_m = \frac{Q}{c} + T_0$ . В этом случае решение зависит от трех параметров

$$\Theta_0 = \frac{E}{RT_m^2} (T_0 - T_m), \quad q_m = \frac{q_s}{\lambda} \sqrt{\kappa \frac{cE}{QzRT_m^2} e^{\frac{E}{RT_m}}}, \quad \gamma_m = \frac{RT_m}{E},$$

ибо  $\beta = -\frac{1}{\Theta_0}$ . Следует ожидать, что характеристики выхода системы на стационарный режим будут слабо зависеть от параметра  $\gamma_m$ .

2. В тех задачах, где не учитывается выгорание топлива, масштаб температуры удобно определить из условия  $\bar{q}_s = \text{const}$ . Оценку постоянной получим из стационарной теории зажигания Я. Б. Зельдовича [4]. В работе [4] показано, что при данной температуре поверхности  $\Theta_s$  отсутствие зажигания возможно лишь в том случае, если градиент температуры вдали от поверхности обеспечивает достаточный теплоотвод, критический теплоотвод, при котором наступает зажигание и применительно к используемым здесь переменным определяется формулой:

$$q_* = \sqrt{\frac{\Theta_s}{2(1-2\gamma) e^{\frac{\Theta_s}{1+\gamma \Theta_s}}}.$$

Для того чтобы на пределе зажигания  $\Theta_s$  была близка к нулю, необходимо взять  $q_s = \sqrt{2(1-2\gamma)}$ . То есть для определения масштаба имеем

$$\frac{E}{RT_1} e^{\frac{E}{2RT_1}} = \frac{\lambda}{q_s} \sqrt{\frac{2QzE}{c\kappa R} \left(1 - 2 \frac{RT_1}{E}\right)}. \quad (7)$$

<sup>1</sup> Точнее масштабом температуры называть величину  $RT_1^2/E$ .

Остальные зависимости находятся по формулам (6). При таком выборе масштаба  $T_1$  решение слабо зависит от  $\gamma$ .

Исходная система уравнений решалась методом сеток на ЭВМ. Характер изменения температуры от времени на поверхности топлива, обращенной к излучателю, показан на рис. 1. Каждой кривой (рис. 1, а)

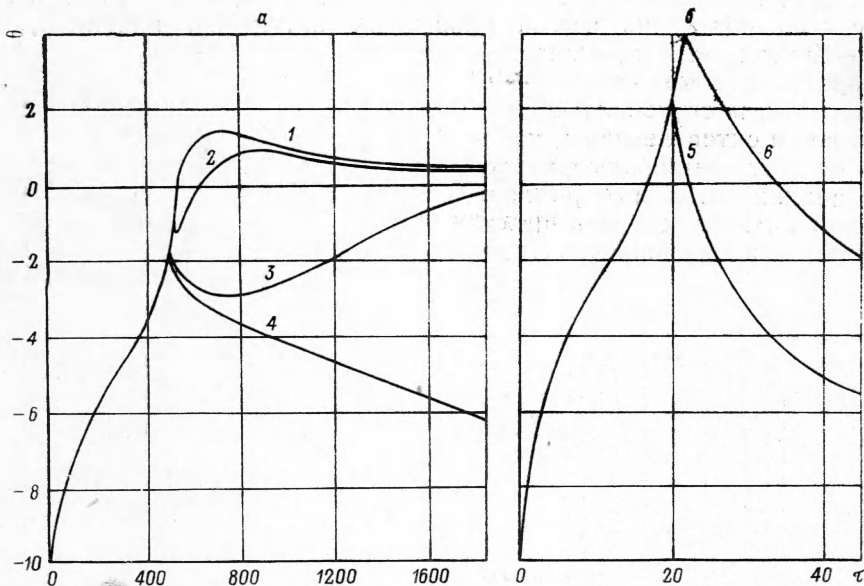


Рис. 1. Температура на поверхности топлива в зависимости от времени для различных моментов смены граничного условия  $\Theta_0 = -10$ ,  $\gamma_m = 0$ .

а —  $q_m = 0,25$ ; б —  $q_m = 2,0$ .

соответствует вполне определенное время облучения, после которого на поверхности ставилась адиабатика. Кривым 1—2 соответствует зажигание с перегревом ( $\Theta_s > 0$ ), 4 — потухание. Приближение  $\Theta_s$  к нулю свидетельствует о выходе скорости распространения пламени на стационарный режим. Кривым 5—6 (рис. 1, б) всюду соответствует потухание.

В табл. 1 помещены численные значения параметров в момент смены граничного условия, где  $Q_s = q_m \tau$  — тепловой импульс, а  $Q_R$  — количество тепла, выделяющегося в результате химических реакций

$$Q_R = \int_0^\tau d\tau \int_0^\infty (1 - \eta) e^{\frac{\Theta}{1 + \gamma \Theta}} d\xi.$$

Таблица 1

Кривые (рис. 1)	$\tau$	$\eta$	$\Theta$	$Q_s$	$Q_R$
1	544	0,824	-0,146	136	42
2	532	0,697	-0,964	133	34,1
3	516	0,563	-1,70	129	27
4	512	0,536	-1,84	128	25,6
5	22,3	0,94	+4,15	44,5	7,22
6	21,0	0,647	+2,13	42,0	3,78

Зажечь топливо<sup>1</sup> облучением очень интенсивными потоками после снятия источника излучения невозможно. Быстрый нагрев поверхностного слоя топлива приводит к его выгоранию, ожогу. Однако, поскольку общий запас тепла в топливе невелик, после снятия излучения он рассасывается в массе топлива, происходит потухание. Для данного  $\Theta_0$  существует критическое значение теплового потока, выше которого после снятия облучения всегда происходит потухание; например, для  $\Theta_0 = -10$  это критическое значение  $q_m$  приблизительно равно  $0,3 \div 0,4$ . Эти выводы, конечно, справедливы лишь в том случае, когда адиабатика ставится не на поверхности  $\xi = 0$ , а при некотором  $\xi = \xi(i)$ , при котором  $\eta \approx 1$  (своеобразный отвод прореагировавших продуктов

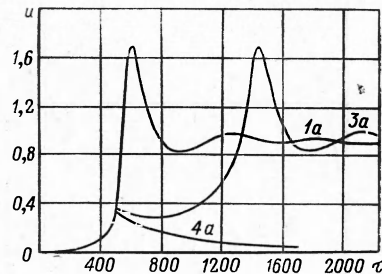


Рис. 2. Изменение

$$u \sim q_R = \int_0^{\infty} (1 - \eta) e^{1 + \frac{\Theta}{\tau}} d\xi$$

от времени для  $\Theta_0 = -10$ ,  $\gamma_m = 0$ ,  $q_m = 0,25$  (Кривые рис. 1 и 2 соответствуют друг другу.)

реакции). Результат, полученный выше, не является неожиданным, он находится в полном согласии с теорией горения порохов и ВВ, развитой Я. Б. Зельдовичем [5], а также с результатами работы [6].

Расчеты примеров вскрыли еще весьма любопытный физический факт. Именно характер стремления скорости горения к стационарному значению происходит с затухающими колебаниями (рис. 2). Период колебаний при данном  $\Theta_0$  тем меньше, чем больше величина безразмерного теплового потока.

Влияние выгорания топлива на характеристики зажигания иллюстрируется табл. 2, где  $\Theta_0 = -10$ ;  $\gamma_m = 0$ ;  $q_m = 0,25$ . Расчет критическо-

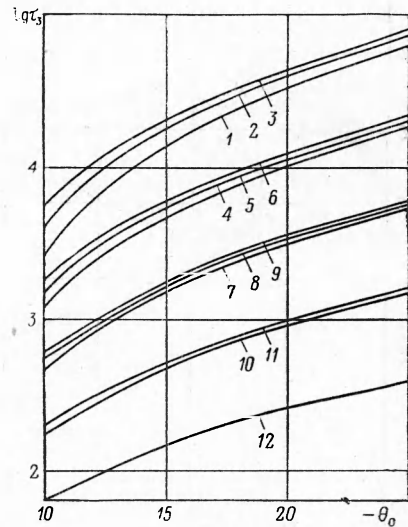


Рис. 3. Зависимость  $\tau_z$  от  $\Theta_0$  для различных значений  $q_m$  и  $\gamma_m$ .

1 — 0,0625; 0; 2 — 0,0625; 0,025; 3 — 0,0625; 0,05; 4 — 0,125; 0; 5 — 0,125; 0,025; 6 — 0,125; 0,05; 7 — 0,25; 0; 8 — 0,25; 0,025; 9 — 0,025; 0,05; 10 — 0,5; 0; 11 — 0,5; 0,05; 12 — 1,0; 0.

Таблица 2

	$\tau_{\text{з}}$	$\tau_z$	$Q_s$	$Q_R$	$\Theta_z$
Без выгорания . . .	0	468	117	17,8	-2,63
С выгоранием . . .	0,536	512	128	25,6	-1,84
Ошибки, % . . .	—	8,6	8,6	23,5	43

<sup>1</sup> Предполагается, что время облучения намного меньше времени адиабатического периода индукции  $\tau_{\text{ad}} \approx e^{-\Theta_0}$

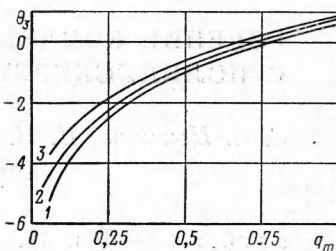
го времени зажигания осуществлялся в широком диапазоне изменения параметров  $10 \leq |\Theta_0| \leq 30$ ,  $0 \leq \gamma_m \leq 0,05$ ;  $0,0625 \leq q_m \leq 3$ , при этом выгорание не учитывалось. Результаты расчета показаны на рис. 3. Если  $1 < q < 3$ , то влияние  $\gamma_m$  несущественно, не больше 5%; при малых  $|\Theta_0|$  и малых  $q_m$  влияние более сильное, разница может достигать 50%.

Критическая температура зажигания  $\Theta_3$  (рис. 4) с ростом теплового потока увеличивается, ее зависимость от  $\Theta_0$  слабая.

Применяя теорию зажигания Я. Б. Зельдовича [7], можно получить явную зависимость  $\tau_3$  от  $q_m$  и  $\Theta_0$

$$\tau_3 = \frac{\pi}{4q_m^2} \left( \ln \frac{q_m^2}{2} - \Theta_0 \right)^2. \quad (8)$$

Рис. 4. Зависимость  $\Theta_3$  от  $q_m$ .  
1 —  $\gamma_m = 0,0$ ; 2 —  $\gamma_m = 0,025$ ; 3 —  $\gamma_m = 0,05$ .



Расчет по формуле (8) дает удовлетворительное совпадение с результатами численного интегрирования (табл. 3). В формуле (8) влияние  $\gamma_m$  не учтено.

Т а б л и ц а 3

$\Theta_0$	$\gamma_m$	$q_m$	$\lambda_3$ , расч.	$\lambda_3$ , теор.	Ошибка, %
-25	0	0,125	18430	20700	12,5
-10	0	1,0	61,1	67,7	10,8
-20	0	1,0	268,9	292	8,6

В частности, если выбрать масштаб температуры из условия (7), то зависимость (8) приобретает очень простой вид:

$$\tau_3 = \frac{\pi}{8} \frac{\Theta_0^2}{(1 - 2\gamma)}.$$

Поступила в редакцию  
5/VI 1965

#### Л И Т Е Р А Т У Р А

1. В. Н. Вилюнов, О. Б. Сидонский. Докл. АН СССР, 1963, 152, 1.
2. А. Э. Аверсон, В. В. Барзыкин, А. Г. Мержанов. ИФЖ, 1965, 9, 2.
3. П. Ф. Похил. Сб. «Физика взрыва», М., Изд-во АН СССР, 1953, 2.
4. Я. Б. Зельдович. ЖЭТФ, 1939, 9, 12.
5. Я. Б. Зельдович. ЖЭТФ, 1942, 12, 11—12.
6. В. Б. Либрович. ГИМТФ, 1963, 6.
7. Я. Б. Зельдович. Докл. АН СССР, 1963, 150, 1.